

Elektrische Eigenschaften

Electrical properties

Höchstzulässige Werte		Amaximum rated values			
Periodische Vorwärts- und Rückwärts-Spitzenperrspannung	repetitive peak forward off-state and reverse voltages	$t_{vj} = -40^{\circ}\text{C} \dots t_{vj\max}$	V_{DRM}, V_{RRM}	800, 1000	V
Vorwärts-Stoßspitzen-sperrspannung	non repetitive peak forward off-state voltage	$t_{vj} = -40^{\circ}\text{C} \dots t_{vj\max}$	$V_{DSM} = V_{DRM}$	1100, 1200	V
Rückwärts-Stoßspitzen-sperrspannung	non repetitive peak reverse voltage	$t_c = +25^{\circ}\text{C} t_{vj\max}$	$V_{RSM} = V_{RRM}$	+ 100	V
Durchlaßstrom-Grenzeffektivwert	RMS on-state current	$t_C = 85^{\circ}\text{C}$	I_{TRMSM}	1500	A
Dauergrenzstrom	average on-state current	$t_C = 22^{\circ}\text{C}$	I_{TAVM}	510	A
Stoßstrom-Grenzwert	surge current	$t_{vj} = 25^{\circ}\text{C}, t_p = 10 \text{ ms}$	I_{TSM}	980	A
Grenzlastintegral	I^2t -value	$t_{vj} = t_{vj\max}, t_p = 10 \text{ ms}$	I^2t	9500	A
Kritische Stromsteilheit	critical rate of rise of on-state current	$t_{vj} = 25^{\circ}\text{C}, t_p = 10 \text{ ms}$	$(di/dt)_{cr}$	8400	A
Kritische Spannungssteilheit	critical rate of rise of off-state voltage	$t_{vj} = t_{vj\max}, t_p = 10 \text{ ms}$	$(di/dt)_{cr}$	451	kA ² s
		$v_D \leq 67\% V_{DRM}, f = 50 \text{ Hz}$	$(dv/dt)_{cr}$	353	kA ² s
		$i_{GM} = 1 \text{ A}, di_0/dt = 1 \text{ Alps}$	$(dv/dt)_{cr}$	500	A/ μ s
		$t_{vj} = t_{vj\max}, v_D = 67\% V_{DRM}$	$B:$	1)	V/μ s
			$c^*:$	2)	V/μ s
			$L:$	500	V/μ s
			$M^*:$	1000	V/μ s

Charakteristische Werte

Characteristic values

Durchlaßspannung	on-state voltage	$t_{vj} = t_{vj\max}, i_T = 2,5 \text{ kA}$	V_T	max.	3,05	v
Schleusenspannung	threshold voltage	$t_{vj} = t_{vj\max}$	$V_{T(TO)}$		1,3	v
Ersatzwiderstand	slope resistance	$t_{vj} = t_{vj\max}$	r_T		0,65	m Ω
Zündstrom	gate trigger current	$t_{vj} = 25^{\circ}\text{C}, v_D = 12 \text{ v}$	I_{GT}	max.	250	mA
Zündspannung	gate trigger voltage	$t_c = 25^{\circ}\text{C}, v_D = 12 \text{ V}$	V_{GT}	max.	2,2	v
Nicht zündender Steuerstrom	gate non-trigger current	$t_{vj} = t_{vj\max}, v_D = 12 \text{ v}$	I_{GD}	max.	10	mA
Nicht zündende Steuerspannung	gate non-trigger voltage	$t_{vj} = t_{vj\max}, v_D = 0,5 V_{DRM}$	V_{GD}	max.	0,25	V
Haltestrom	holding current	$t_c = 25^{\circ}\text{C}, v_D = 12 \text{ V}, R_A = 10 \Omega$	I_H	max.	250	mA
Einraststrom	latching current	$t_{vj} = 25^{\circ}\text{C}, v_D = 12 \text{ V}, R_{GK} \geq 10 \Omega$	I_L	max.	1,5	A
Vorwärts- u. Rückwärts-Sperrstrom	forward off-state and reverse currents	$i_{GM} = 1 \text{ A}, di_0/dt = 1 \text{ Alps}, t_g = 20 \text{ ps}$	i_D, i_R	max.	100	mA
Zündverzug	gate controlled delay time	$t_{vj} = t_{vj\max}, v_D = V_{DRM}, V_R = V_{RRM}$	t_{gd}	max.	1,2	μ s
Freiwerdezeit	circuit commutated turn-off time	$t_{vj} = 25^{\circ}\text{C}, i_{GM} = 1 \text{ A}, di_0/dt = 1 \text{ A}/\mu\text{s}$ siehe Techn. Erl./see Techn. Inf.	t_c , C ^{*)}	max.	12	μ s
			D:	max.	15	μ s
			s:	max.	18	μ s
			E:	max.	20	μ s

Thermische Eigenschaften

Thermal properties

Innerer Wärmewiderstand für beidseitige Kühlung	thermal resistance, junction to case for two-sided cooling	$\Theta = 180^{\circ}\text{el, sin}$	R_{thJC}	max.	0,038	°C/W
für anodenseitige Kühlung	for anode-sided cooling	DC		max.	0,036	°C/W
für kathodenseitige Kühlung	for cathode-sided cooling	$\Theta = 180^{\circ}\text{el, sin}$	$R_{thJC(A)}$	max.	0,0675	°C/W
Übergangswärmewiderstand	thermal resistance, case to heatsink	DC		max.	0,065	°C/W
Höchstzul. Sperrsichttemperatur	max. junction temperature	$\Theta = 180^{\circ}\text{el, sin}$	$R_{thJC(K)}$	max.	0,082	°C/W
Betriebstemperatur	Operating temperature	DC		max.	0,08	°C/W
Lagertemperatur	Storage temperature	beidseitig/two-sided einseitig/one-sided	R_{thCK}	max.	0,005	°C/W
				max.	0,01	°C/W
			$t_{vj\max}$			125°C
			t_{cop}			-40 ... + 125°C
			t_{stg}			-40 ... + 150°C

Mechanische Eigenschaften

Mechanical properties

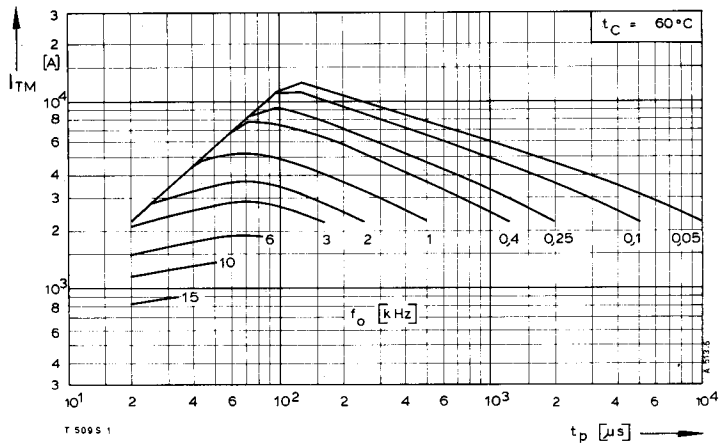
Si-Element mit Druckkontakt	Si-pellet with pressure contact		F	7 ... 15	kN
Anpreßkraft	Clamping force		G	typ.	270 g
Gewicht	weight				30 mm
Kriechstrecke	Creepage distance				C
Feuchtekategorie	humidity classification	DIN 40040			50 m/s ²
Schwingfestigkeit	Vibration resistance	$f = 50 \text{ Hz}$			Seite/page 155
Maßbild	outline	DIN 41814-153C4			

• Für größere Stückzahlen bitte Liefertermin erfragen/Delivery for larger quantities on request

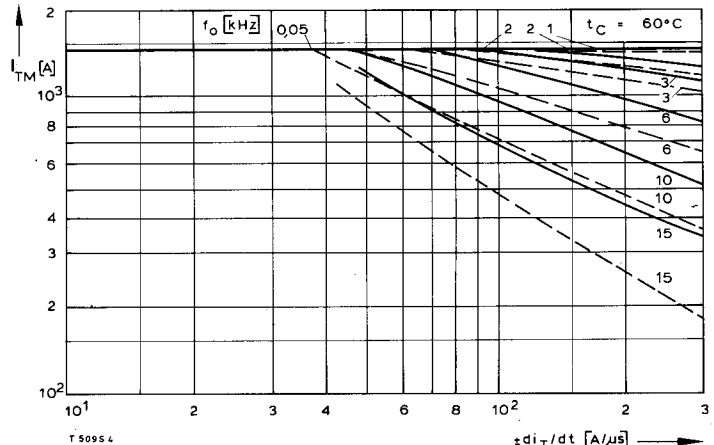
1) Werte nach DIN IEC 747-6 (ohne vorausgehende Kommutierung)/Values to DIN IEC 747-6 (without Prior commutation)

2) Unmittelbar nach der Freiwerdezeit, vgl. Meßbedingungen für t_q /Immediately after circuit commutated turn-off time, see Parameters t_q

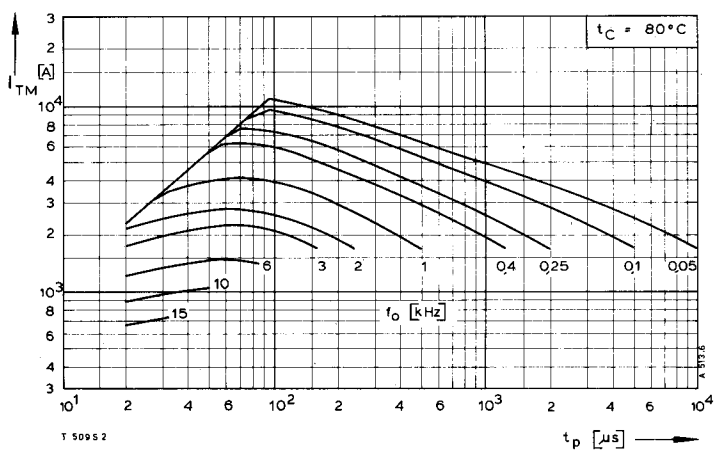
3) $dv/dt = 50 \text{ V}/\mu\text{s}$ oder $L = 50 \text{ V}/\mu\text{s}$



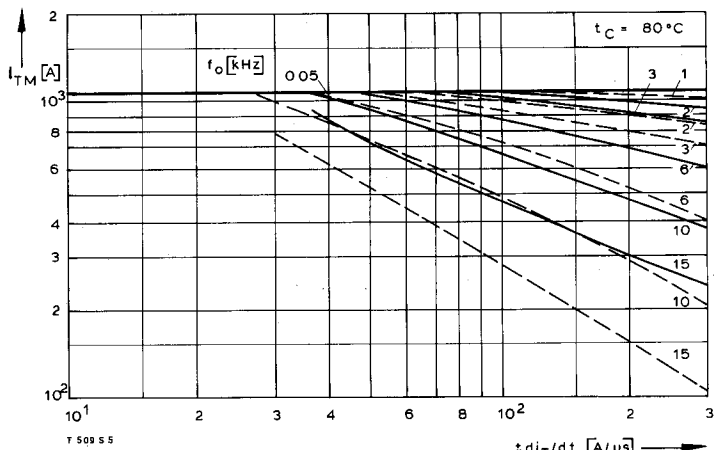
Bild/Fig. 1



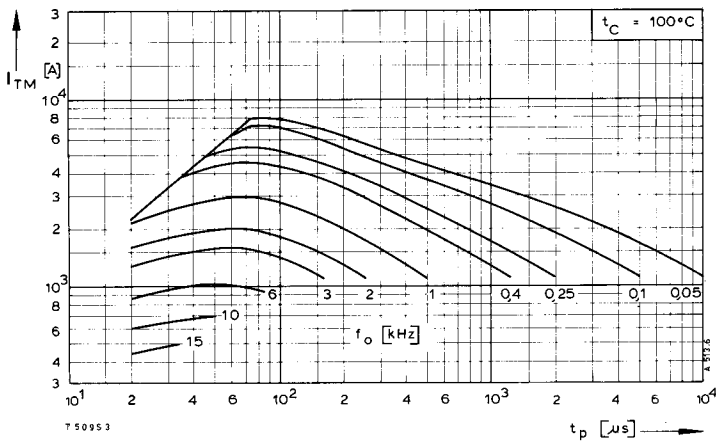
Bild/Fig. 4



Bild/Fig. 2



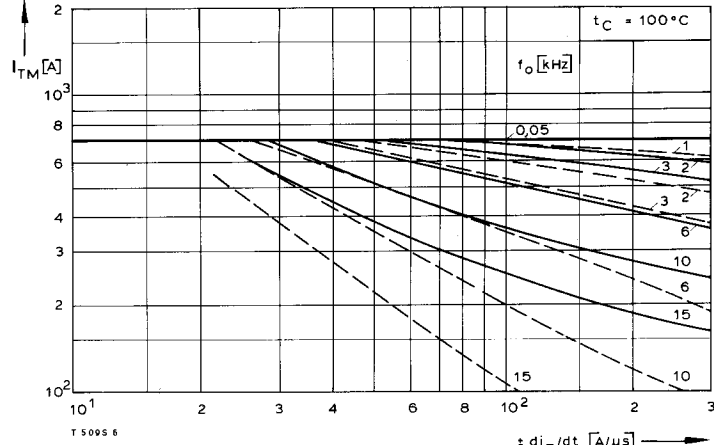
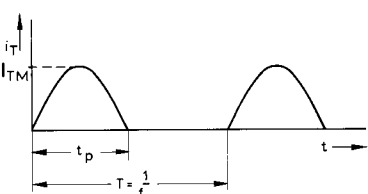
Bild/Fig. 5



Bild/Fig. 3

Bild/Fig. 1, 2, 3
Steuergenerator/pulse generator:
 $i_G = 1 \text{ A}$, $di_G/dt = 1 \text{ A}/\mu s$

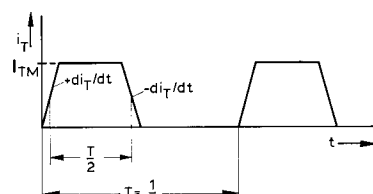
RC-Glied/RC-network:
 $R [\Omega] \geq 0,02 V_{DM} [\text{V}]$
 $C \leq 0,22 \mu F$
 $V_{DM} \leq 0,67 V_{DRM}$

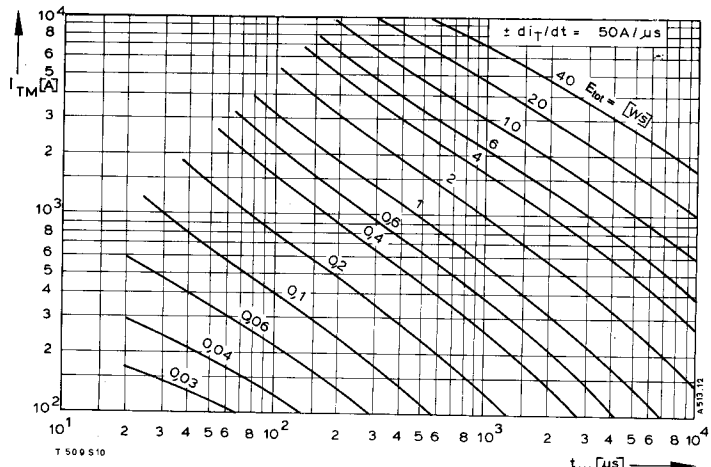


Bild/Fig. 6

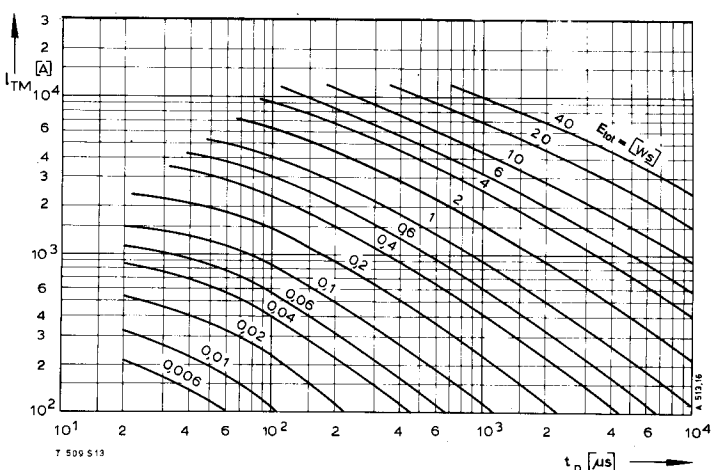
Bild/Fig. 4, 5, 6
Steuergenerator/pulse generator:
 $i_G = 1 \text{ A}$, $di_G/dt = 1 \text{ A}/\mu s$

RC-Glied/RC-network:
 $R [\Omega] \geq 0,02 V_{DM} [\text{V}]$
 $C \leq 0,33 \mu F$
 $V_{DM} \leq 0,67 V_{DRM}$
 $dv_R/dt \leq 600 \text{ V}/\mu s$
 $V_{RM} \leq 0,67 V_{HRM}$

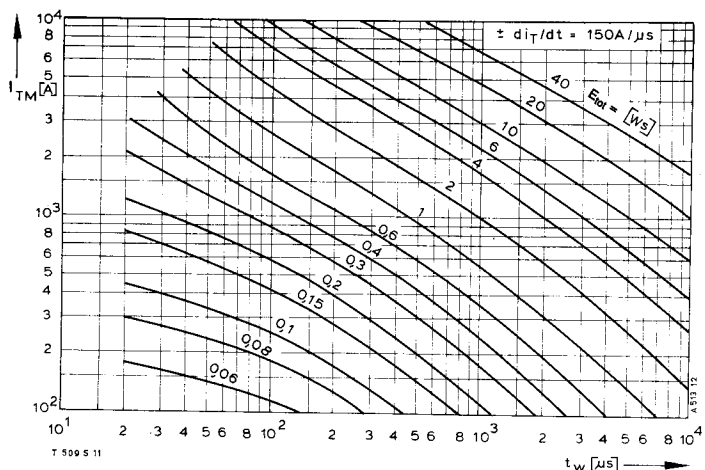




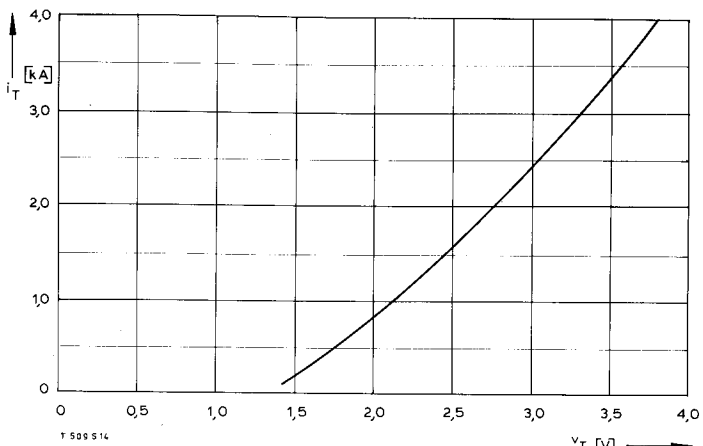
Bild/Fig. 10



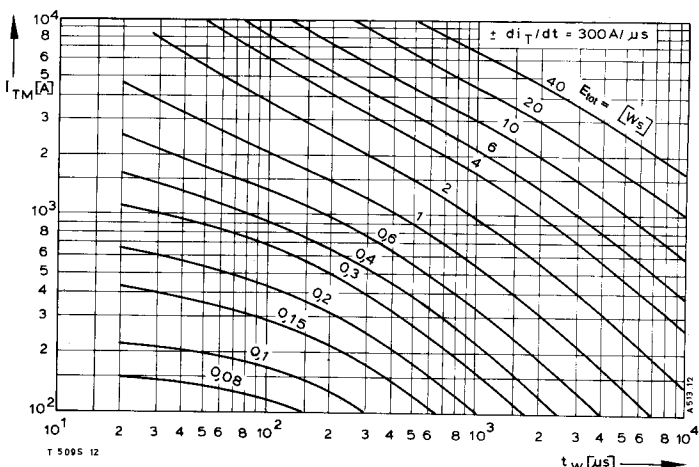
Bild/Fig. 13



Bild/Fig. 11



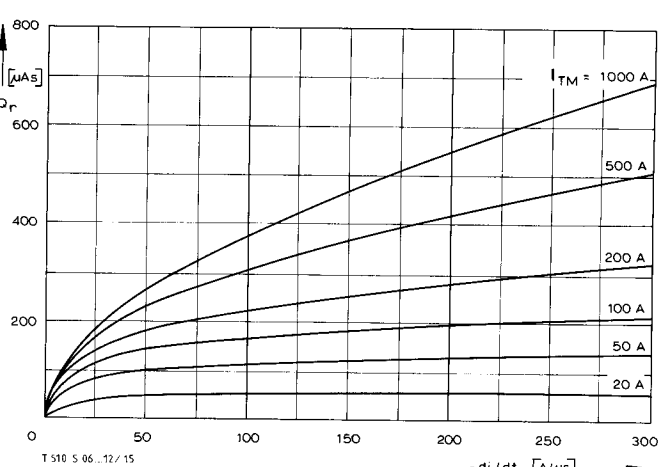
Bild/Fig. 14



Bild/Fig. 12

Bild/Fig. 10, 11, 12
Steuergenerator/pulse generator:
 $i_G = 1 \text{ A}$, $di_G/dt = 1 \text{ A}/\mu\text{s}$

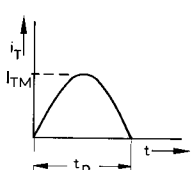
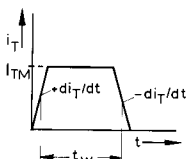
RC-Glied/RC-network:
 $R \leq 0,02 V_{DM} / V$
 $C \leq 0,33 \mu\text{F}$
 $V_{DM} \leq 0,67 V_{DRM}$
 $dv_R/dt \leq 600 \text{ V}/\mu\text{s}$
 $V_{RM} \leq 0,67 V_{RRM}$

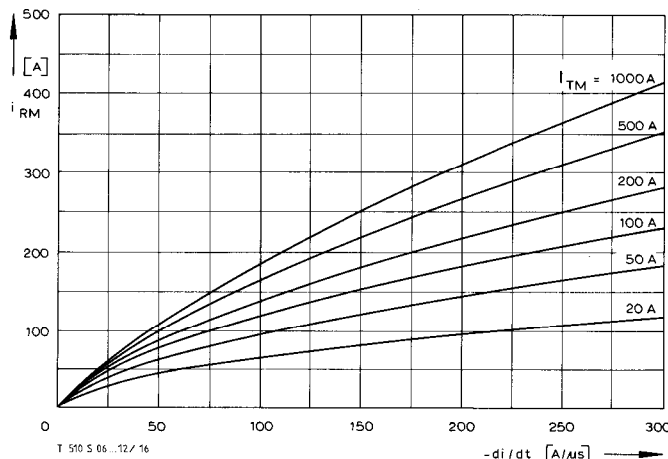


Bild/Fig. 15

(zu Bild/to Fig. 13)
Steuergenerator/pulse generator:
 $i_G = 1 \text{ A}$, $di_G/dt = 1 \text{ A}/\mu\text{s}$

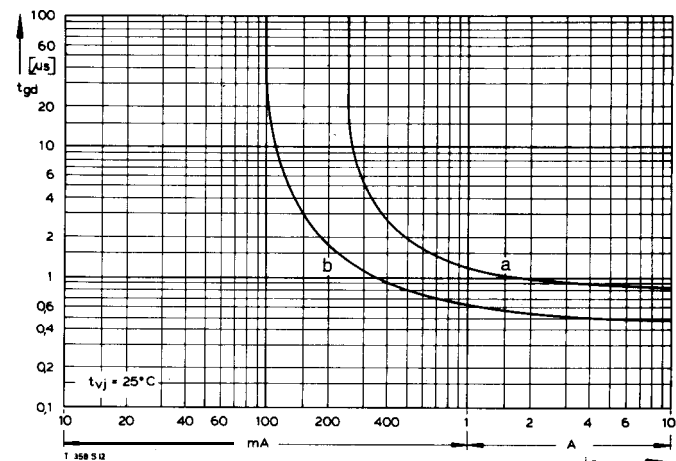
RC-Glied/RC-network:
 $R \leq 0,02 V_{DM} / V$
 $C \leq 0,22 \mu\text{F}$





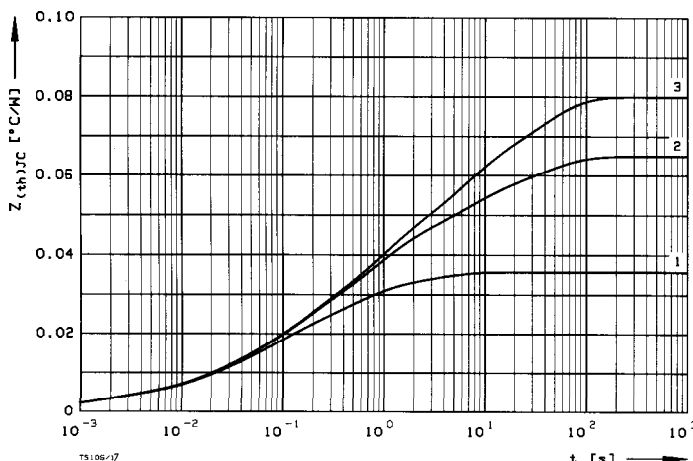
Bild/Fig. 16

Rückstromspitze $I_{RM} = f(-di/dt)$, $t_{vj} = t_{vj(max)}$, $V_R = 0,5 V_{RRM}$, $V_{RM} = 0,8 V_{RRM}$
Peak reverse recovery current $I_{RM} = f(-di/dt)$, $t_{vj} = t_{vj(max)}$, $V_R = 0,5 V_{RRM}$, $V_{RM} = 0,6 V_{RRM}$
Parameter: Durchlaßstrom/On-state current $|I_{TM}|$



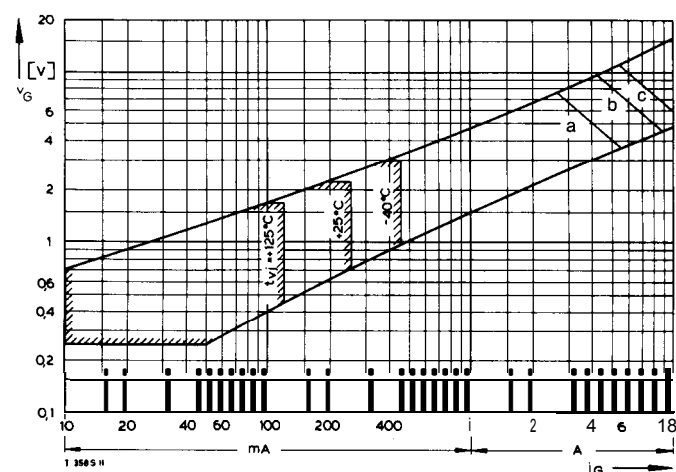
Bild/Frg. 16

Zündverzug/Gate controlled delay time $t_{gd} = f(i_{GM})$, $t_{vj} = 25^\circ\text{C}$. $di_G/dt = i_{GM}/1 \mu\text{s}$
a – Maximaler Verlauf/Limiting Characteristic
b – Typischer Verlauf/Typical Characteristic



Bild/Fig. 17

Transient innerer Wärmewiderstand $Z_{thJC} = f(t)$, DC
Transient thermal impedance $Z_{thJC} = f(t)$, DC
1 Beidseitige Kühlung/two-sided cooling
2 Anodenseitige Kühlung/anode side cooling
3 Kathodenseitige Kühlung/cathode side cooling



Bild/Fig. 19

Steuercharakteristik mit Zündbereichen/Gate Characteristic with triggering areas
 $v_G = f(i_G)$, $V_G = 12 \text{ V}$

Parameter:	a	b	c
SteuerimpulsduarvevTrigger pulse duration t_g [ms]	10	1	0,5
Höchstzulässige Spitzensteuerverlustleistung/ Max. rated peak gate power dissipation P_{GM} [W]	20	40	60

Analytische Elemente des transienten Wärmewiderstandes Z_{thJC} für DC
Analytical elements of transients thermal impedance Z_{thJC} for DC

Kühlung cooling	Pos. n	1	2	3	4	5	6	7
beidseitig two-sided	$R_{thn} [\text{°C/W}]$	0,00308	0,00451	0,0111	0,01215	0,005		
	$\tau_n [\text{s}]$	0,00114	0,0145	0,0716	0,453	2,8		
anodenseitig anode-sided	$R_{thn} [\text{°C/W}]$	0,00315	0,00565	0,0131	0,0186	0,0128	0,0117	
	$\tau_n [\text{s}]$	0,00116	0,0169	0,1	0,69	5,0	36,0	
kathodenseitig cathode-sided	$R_{thn} [\text{°C/W}]$	0,00315	0,00565	0,0131	0,0186	0,0195	0,02	
	$\tau_n [\text{s}]$	0,00116	0,0169	0,1	0,69	5,0	36,0	

Analytische Funktion/analytical function:

$$Z_{thJC} = \sum_{n=1}^{n_{\max}} R_{thn} (1 - \exp(-t/\tau_n))$$